熱處理對鎳、鋁及鈦混合粉末的相變過程及 γ'-Ni₃(Al,Ti)相成長的動力學研究

熊樂群* 許宏華**

**國防大學理工學院應用化學及材料科學系
***國防大學理工學院國防科學研究所

摘 要

本研究探討鎮、鋁、鈦混合粉末經熱處理而形成 $Ni_{60.1}Al_{27.2}Ti_{12.7}$ 三相介金屬的相變過程。在 200-1200°C的 DSC 實驗,顯示混合粉末在 659 與 1150°C 發生放熱反應,而在 636 及 870°C 發生吸熱反應。經上述各溫度熱處理後樣品的 X 光繞射分析,確定主要且穩定的三種介金屬相的生成順序為 β -Ni(Al,Ti)、 γ' -Ni $_3$ (Al,Ti)及 β' -Ni $_2$ AlTi。加熱期間,中間反應產物(如 Al_3 Ni 及 Al_3 Ni $_2$)的生成與相變,則以 Ni-Al 二元相圖與實驗分析結果加以解釋;而在 1165°C 高溫熱處理所引起的三相的消長變化,也可由 Ni-Al-Ti 三元相圖合理說明。另外,以動力學分析 γ' 相在 β 相基地中沿著晶界析出,並隨著溫度上升而逐漸成長的現象,得知在 670 與 875°C γ' 相的成長模式為晶界擴散之,其中擴散因子 k_0 = 8.487×10^{-11} cm²s⁻¹,擴散活化能 Q = 43.56 kJ mol⁻¹;而在 1165°C,成長模式則轉為以體擴散為主。 **關鍵詞:**相變化、熱差分析(DSC)、活化能

The Phase Evolution of the Ni, Al, Ti Powder Mixtures and the γ' -Ni₃(Al,Ti) Phase Growth Kinetics During Heat Treatment

L.C. Hsiung * and H.H. Sheu**

*Department of Applied Chemistry and Materials Science, Chung Cheng Institute of Technology, National Defense University

**Graduate School of National Defense Science, Chung-Cheng Institute of Technology, National Defense University

Abstract

The purpose of this study is to investigate the phase evolution of the Ni, Al, and Ti powder mixture with a composition of Ni $_{60.1}$ Al $_{27.2}$ Ti1 $_{2.7}$ during heat treatment. The DSC thermal analysis of this powder mixture, from 20 to 1200°C, shows that there are two exothermic and two endothermic reactions. The phases presented in heat treated powder samples were then identified by using X-ray diffraction and examined metallographically. Data obtained from thermal analysis, XRD experiments and microstructure examination may be well-interpreted in terms of Ni–Al binary and Ni–Al–Ti ternary phase diagram. The growth of γ' phase at the expense of β phase was analyzed kinetically and shows that the grain boundary diffusion is responsible for the γ' growth in samples heat treated at lower temperatures (670 or 875°C), while the volume diffusion becomes a dominate one for the higher heat treatment temperature (1165°C).

Keywords: phase evolution, differential scanning calorimeter (DSC), activation energy.

文稿收件日期 97.4.21; 文稿修正後接受日期 97.7.28 Manuscript received April 21, 2008; revised July 28, 2008.

一、前 言

鎳基介金屬的低密度、高熔點、抗高溫腐蝕及氧 化等優點,已具備了發展成為下一代高溫用材料的基 本特性,因此,近年來許多學者針對它的各種性質進 行深入的研究[1-3]。但它與現役的鎳基超合金比較, 一般認為單相的鎳基介金屬其強度仍然偏低,延展性 亦顯不足。在以強化材料為目標的各種研究對策中, Polvani et al. [4] 的論述值得注意,他們提到從 β-NiAl 裡析出 β'-Ni₂AlTi 的雙相介金屬,要比單相介金屬 (β-NiAl 或 β'-Ni₂AlTi)的強度提高許多,尤其是它的高 溫抗潛變特性幾乎可媲美先進的 MAR-M200 鎳基超 合金。後續的相關研究包括 Yang et al. [5] 以鑄造法, 與 Hsiung 和 Bhadeshia [6] 以快速冷凝合金粉末製 程, 進一步將 γ'-Ni₃Al 引入 β+β'兩相合金中, 使其延 展性獲得大幅改善。最近我們運用機械合金法 (mechanical alloying, MA),以鎳、鋁、鈦元素粉末為 起始原料,合成了γ'-β-β'三相介金屬粉

末[7],該製程藉著滾珠,在球磨過程中對原料粉末施以大量的機械功,致使粉末的物理性質(如變形、細化、銲合、開裂)與化學性質(如成分相互固溶、新相的形成)逐漸發生變化。由於在 MA 過程粉體的應變量很大(粉體的真應變值可達 9),因此,在最後的熱處理階段前,粉體的晶粒已經十分細小(約 7 nm),且其結構呈現類似非晶(amorphous-like)的狀態。

本研究基於上述MA的經驗,希望在儘量降低機械功對 粉體合金化影響的前提下,進行溫度對粉末相變過程 的效應評估。基本上,介金屬高熔點的本質,即已反 映了它們的生成焓很高,利用這一特點作為合成各類 介金屬的製程稱為高溫自發反應法(self-propagating high temperature synthesis, SHS) [8-10]。該製程的原理 是將欲合成的元素粉末混合後,利用外界給予的熱來 誘發元素粉末間的化學反應,反應期間所釋放出來的 熱量會促使合金化過程持續進行。回顧以SHS製程合 成Ni-Al基介金屬的相關報導[11-19],普遍認為鎳與鋁 粉之間會先形成Al3Ni及Al3Ni2等介穩相,最後才形成 穩定的單相NiAl或NiAl;然而,這些研究也顯示了SHS 的製程條件對上述介穩相的形成與否影響很大,例 如,在反應系統的絕熱狀況佳、元素粉末顆粒較細小、 加熱速率高的條件下,介穩相並不會產生,而可直接 形成穩定的NiAI介金屬相;再者,SHS通常用於製備 二元單相介金屬,以該法合成三元多相介金屬的研究 則相當少,就我們所知,僅有Kopit[15] 以各種成分配 比的鎳、鋁、鈦粉末,主要用來合成多種單相介金屬, 其中唯一所合成的兩相介金屬是Ni₃Al+Ni₃Ti,但該文 探討的內容也僅限於各介金屬相的鑑定,並未觸及各 相的形成順序及成長動力學現象。因此,本研究以Yang

et al. [5]與Robson et al. [20] 所報導的Ni-Al-Ti相圖為實驗合金的成份依據,亦即在連結 γ' - β - β' 三相相域的結三角(tie-triangle)中選取適當成分(如圖1中的A點所示)進行實驗,主要目的在於探討鎳、鋁、鈦混合粉末經加熱反應,各穩定介金屬相形成的順序;另外,從 β 相晶界處析出 γ' 相的成長現象亦在本文中加以討論。

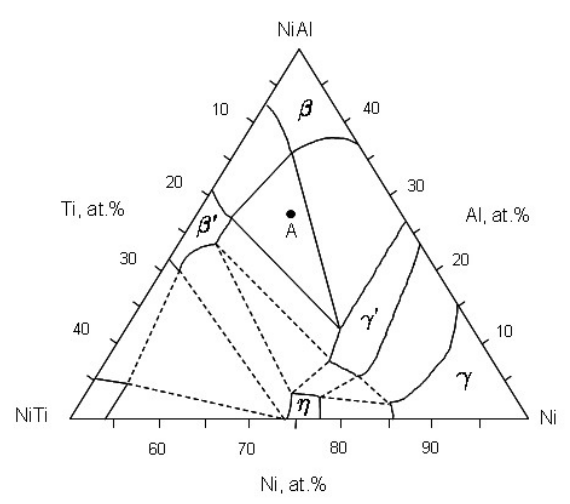


圖1 在富鎳端於900℃等溫的Ni-Al-Ti三元相圖 [20]

二、實驗方法

本研究使用的鎳、鋁、鈦粉末是美國 CERAC 公 司所製造,它們的純度是99.9%,平均的粒徑約為45 μm (-325 mesh)。 我們依照 Ni-Al-Ti 三元相圖中連結 γ' - β- β'三相的結三角內部 A 點 Ni₆₀₁Al₂₇₂Ti₁₂₇(at%)進 行成分調配(圖 1)。使用 Simoloyer® CM01-2T 型水 平式旋轉球磨機進行混粉,球磨罐裡的鍍鉻鋼珠與原 始粉末的重量比例為 10:1。先把總重量為 100 g 的三 種元素粉末裝入鋼製球磨罐中,再以真空泵對球磨罐 進行抽真空 40 min,以避免粉末氧化,最後填充氫氣 以完成封罐。球磨機轉速設定為 1100 rpm, 因為該球 磨機的混合/球磨效率比一般的球磨設備高得多,根據 以往 MA 合成 γ' - β - β' 三相粉末的經驗顯示[7],元素 粉末經2h 球磨後,就開始有合金化而形成新相的跡 象,因此,為了避免機械功被大量引入粉體,混粉時 間必須縮短,經過數次初步試驗後,球磨時間設定為 15 min •

利用 TA Instruments SDT2960 型 DSC 熱分析儀,以 20℃ min⁻¹ 的升溫速率加熱至 1200℃對混粉進行熱性質分析。粉末的熱處理實驗則是先稱取約 4 g 混合後的粉末置入石英管中,在石英管兩側以石棉塞緊後,置於通有保護氣氛為氮氣的熱處理爐裡,以 20℃ min⁻¹ 的升溫速率加熱到設定的爐溫後,進行持溫 15

min 的熱處理,再將石英管迅速投入冰水中淬火。經過不

同温度熱處理後的粉末,以 Bruker D8 型 X-ray 繞射儀進行晶體結構分析,操作條件為 Cu k_{α} 射線,電壓 40~kV,電流 20~mA,從 20-90° 實施 20~e 繞射實驗。熱處理前與熱處理後的粉末試樣先以冷鑲埋方式固定,經研磨拋光後,以光學顯微鏡(對經蝕刻後的試樣)或以 HITACHI S-3000N 型掃瞄式電子顯微鏡(對未經蝕刻的試樣)進行顯微組織的觀察,其中電子顯微鏡的操作電壓為 15~kV,並以背散式電子模式觀察;另外,使用 JOEL JXA-6400P 電子探針顯微分析儀(EPMA)進行粉末微區的成分分析。

三、結果與討論

3.1 熱分析與相鑑定

圖 2 為經過 15 min 球磨混合後粉末試樣的截面形貌,三種不同元素粉末的外形均呈多角形,粉末的顆粒尺寸、形狀與起始粉末相較並無明顯變化。經由成分分析可清楚地區分各元素粉末,照片裡各粉末的顏色深淺對比也很明顯,其中鎳粉呈現白色,灰色顆粒為鈦粉,深灰色粉末則為鋁粉。混粉經研磨 15 min的效果,除了使三種元素粉末充分混合外,也使少部分的鎳粉被嵌入硬度比較低的鋁粉中,或使部分的鎳粉與鋁粉相互緊密地接觸著(圖 2)。

為了瞭解鎳、鋁及鈦混粉從室溫經加熱至1200℃期間所產生的相變化,我們使用 DSC 熱分析儀對混粉進行熱分析檢測。圖 3 為粉末的 DSC 熱分析曲線,顯示在加熱過程中,總共出現了 4 個吸/放熱反應,個別的反應溫度依序為 636(吸熱)、659(放熱)、870(吸熱)及 1150℃(放熱)。為了進一步瞭解混粉在這四個相變反應的生成物為何,我們將混合後的粉末置入石英管,石英管兩側以石棉塞緊,置入通有氮氣的熱處理爐中,並以 20℃ min¹的升溫速率(設定此升溫速率是為了與 DSC 實驗中的加熱速率一致),分別從室溫加熱到比上述四個反應溫度略高的爐溫,即 640、670、875 及 1165℃,進行持溫 15 min

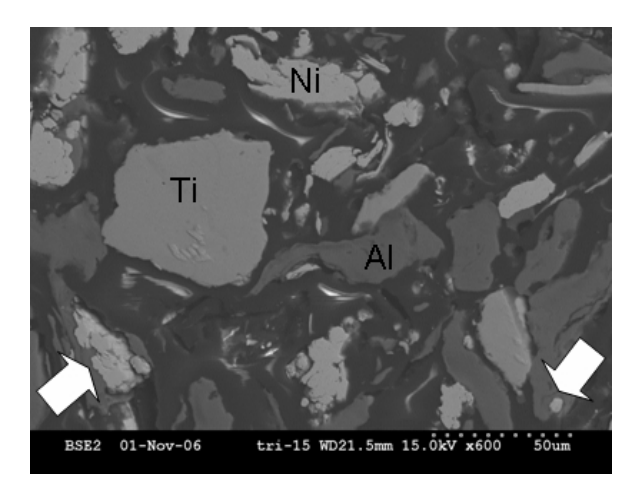


圖 2 鎮、鋁和鈦粉經球磨 混合 15 min 後的 SEM 照片,顯示少部分與鋁粉經球磨後出 現緊密接觸(左箭頭),或鎳粉被包覆於 鋁粉內(右箭頭)的情形

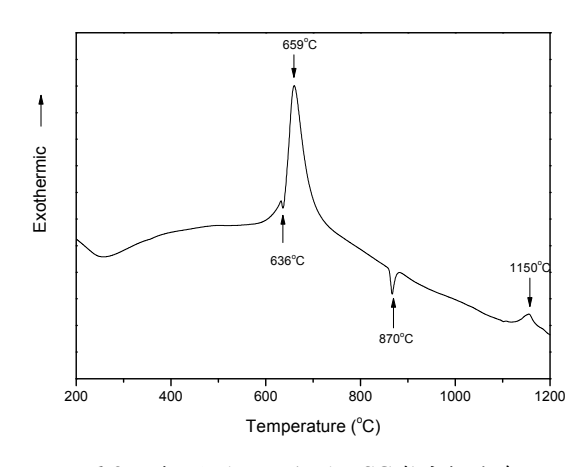


圖 3 鎮、鋁和鈦混粉的 DSC 熱分析曲線

的熱處理,然後把石英管迅速投入冰水中進行淬火, 以獲得混粉分別在上述各熱處理溫度的生成物,並藉 X光繞射實驗對混粉實施相鑑定,作為解釋各吸/放熱 反應的依據。

圖 4(a)-(e) 為混粉在熱處理實驗前與在各溫度熱處理 15 min 後的 X 光繞射圖,圖 4(a)為混合 15 min 後,但未經熱處理的混粉 XRD 圖。圖中除了鎳、鋁與鈦三種元素的繞射峰外,並沒有出現其它合金相的繞射峰,這項結果若輔以混粉的外形觀察結果(圖 2),顯示三種元素粉末經高能量球磨 15 min 後,已達到充分混合的目的,但還不至於讓粉末間因機械力的作用而開始出現合金化的現象。圖 4(b) 為粉末經過 640°C 熱處理 15 min 後的 X 光繞射圖,圖中代表鎳、鋁及鈦元素態的繞射峰已經全部消失,取而代之的主要是在繞射角 2θ=30.9、44.3、64.3 及 82.2° 的繞射峰,這些分別是 β-Ni(Al,Ti)相的(100)、(110)、(200)及(211)特徵繞射峰(JCPDS 02-1261),其中(100)為 B2 晶格的

superlattice 繞射峰,這意味著β相的B2 結構中各次晶 格(sublattice)裡 Ni 與(Al,Ti)已經開始有序化了。在 640℃熱處理後,除了形成大量的β相外,也有少量的 η -Ni₃Ti· γ '-Ni₃(Al,Ti)·Al₃Ni(JCPDS 02-0416)及Al₃Ni₂ (JCPDS 02-1265)等介穩相產生(圖 4(b)與圖 5)。圖 3 中於636℃出現吸熱反應的相變本質,則可藉由Ni-Al 二元平衡相圖加以釐清。當混粉被加熱至 620℃附 近,雖然該溫度尚未達鎳(T_m = 1453℃)或鈦(T_m = 1660°C)的熔點,但已經非常接近鋁的熔點(660°C)了, 此時鋁原子經由鋁粉與鎳粉的緊密接觸面(圖 2),或 透過自由表面向鎳粉表面進行擴散的現象,隨溫度的 上升而愈趨活躍,根據 Ni-Al 相圖,這些在鎳粉表面 形成的富鋁層(Al-rich layer)與 Al₃Ni 層,會因吸熱而在 639℃共晶熔化或分解(圖 6), 我們 DSC 實驗顯示的 溫度(636℃)和該反應的溫度十分接近,這說明了在該 温度的相變內容;文獻裡有關以 SHS 合成 β-NiAl 的 研究報導也持相同的看法[11,16]。至於在圖 3 裡並沒 有在 660℃顯現因鋁熔化而造成的吸熱反應,其可能 的原因是本研究的實驗合金 Ni₆₀₁Al₂₇₂Ti₁₂₇ 所含的鋁 量原已不多,經加熱擴散而在鎳粉表面形成富鋁 Al(Ni) 或 AlaNi 的反應,幾乎已耗盡了鋁粉所能提供的鋁量, 縱使在反應後仍有殘存微量的鋁,其因熔解而吸熱的 效應,也會被隨後因自發反應形成β或γ所釋放的大 量熱所掩蓋而趨於不明顯(放熱峰出現在非常接近鋁 熔點的659℃,如圖3)。在我們另一個刻意提高鋁/鎳 原子濃度比值為 Al: Ni = 7:3 的熱分析實驗結果顯 示 除 了

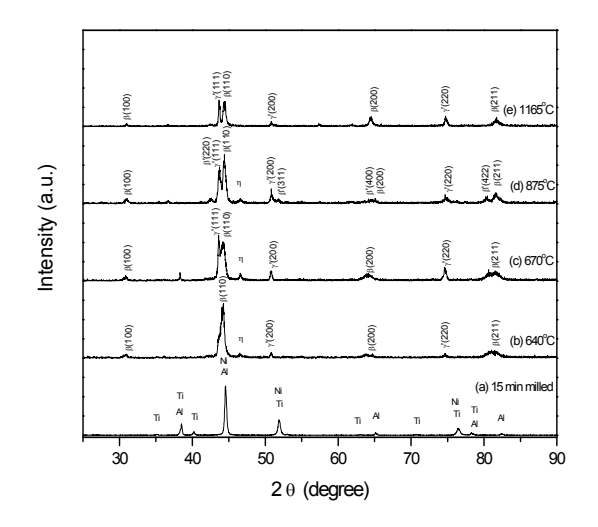


圖 4 未經熱處理和經過不同溫度熱處理 15min 後 混粉的X光繞射圖

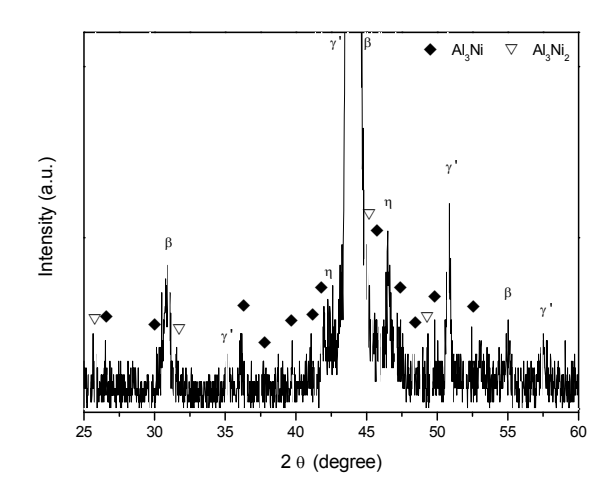


圖 5 鎳、鋁和鈦混粉經過 640° C×15 min 熱處理後的 粉末 X 光繞射圖(本圖是圖 4(b)在繞射角 2θ = $25\sim60^{\circ}$ 的放大圖

圖 3 的吸/放熱峰外,在鋁的熔點(660℃)的確也出現了因熔解反應的吸熱峰,該實驗證實了我們上述的推論。因此,在圖 3 的熱分析曲線裡,從 620 到 640℃的放熱反應過程應是元素混粉受熱後先形成 Al₃Ni、Al₃Ni₂及η-Ni₃Ti 等介穩相,隨後絕大部份的這些介穩相再進一步反應形成穩定的 Ni(Al, Ti) 與少許的Ni₃(Al, Ti)相。

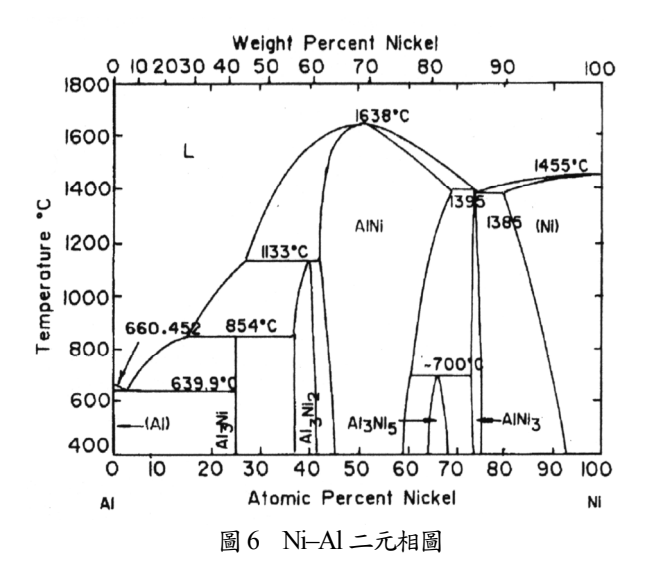
至於文獻裡有關實驗條件可能影響在加熱過程中 介穩相的生成與否的報導,我們的看法如下。在 Zhu 和 Abbaschian [17] 提到,若大部份自發反應釋放的熱 量被鋼質模具吸收了(實驗全程,粉體均以模具壓實 著),即所謂"絕熱不佳"的狀況下,混粉會先形成 Al₃Ni 及 Al₃Ni₂ 等介穩相,需經持續地供給熱量,最後 才能形成 NiAl 相;然而在絕熱狀況佳的情況下,鎮、 鋁混粉則會直接反應形成 NiAl 相。另外,Miura et al. [14] 指出混粉在低的壓實密度狀態下,其生成介金屬 的速率要比高壓實密度者快,該文認為這是因為壓實 密度低的粉末試樣提供了相對較多的擴散表面積,使 擴散與反應速率增快。反觀本研究的熱處理實驗是以 石英管來盛載未經壓實的鬆散混粉,並於管的兩側以 絕熱良好的石棉填塞固定,所以粉末間的擴散表面積 大,且反應熱的散逸量也低,因此,在加熱初期介穩 相即可形成,並迅速地轉變為β-Ni(Al,Ti)相。

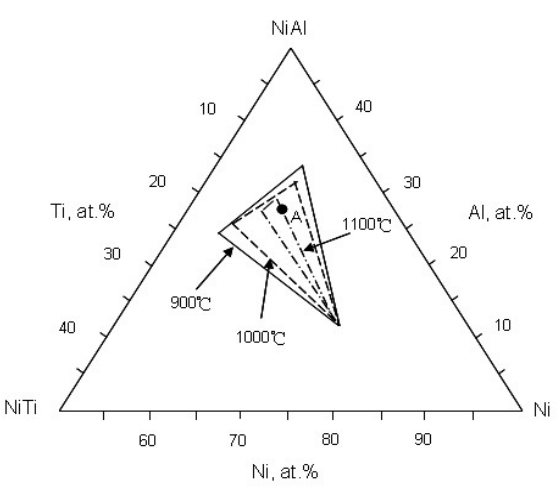
圖 4(c)為混粉完成 670°C 熱處理 15 min 後的 X 光 繞射圖。經與 640°C 熱處理試樣(圖 4(b))比較後,顯示除了少許的 Ni_3 Ti 相仍然存在, β 相的繞射峰持續增強外,代表 γ '相的各主繞射峰(JCPDS 09–0097),如出現在繞射角 $20 = 43.8 \times 51$ 及 74.8°的(111)、(200)及(220)的強度也增加了,這意味著所生成的 γ ' 隨溫度的提高而遞增。因此,比較 640 及 670°C 熱處理後粉末的 XRD實驗結果,顯示圖 3 熱分析曲線在 620–710°C 溫度範

圍的放熱反應,主要為形成大量的β相及較少量的γ相,而共同釋放其生成焓所致。

圖 4(d)為混粉實施 875℃熱處理後的 XRD 圖,除 了先前形成的 $\beta \times \gamma'$ 與少許殘存的 Ni_3Ti 外,分別在20= 43.7、51.6、63.5 及 81°亦開始出現了 β'-Ni₂AlTi 相 (JCPDS 19-0034)的(220)、(311)、(400)及(422)的繞射 峰,其中,(311)為β'相 L21結構的 superlattice 繞射峰。 至此,實驗合金裡的三個目標相(介金屬相)—β、γ/及 β'都已先後出現了。圖3中發生於870℃的吸熱反應究 竟是 AlaNi 抑或是 AlaNio 的熔解反應?相關文獻的看 法相當分歧[16-19],尚待釐清。我們知道,混粉加熱 到 640°C後,粉末內部已形成 Al₃Ni、Al₃Ni2、η-Ni₃Ti、 β-Ni(Al,Ti)及 γ'-Ni₃(Al,Ti)等相(圖 5); Ni-Al 平衡相圖 所提供的資訊有:鋁/鎳計量比為3:1的Al₃Ni 熔解溫 度是854℃,而非計量比化合物Al₃Ni₂相的初熔溫度, 則是隨著不同的鋁/鎳濃度比在 854-1133℃之間變化 (圖 6)[21],當鎳含量微幅增加,其初熔溫度即快速上 升。XRD 結果顯示,當熱處理溫度由 640℃提高到 670℃後,粉體裡 Al₃Ni 相的量已經相對地減少許多, 意味著加熱有助於反應(及其產物)朝著 Ni-Al 相圖 富鎳的方向進行,因此,發生於 870℃吸熱反應是計 量比化合物 Al₃Ni 熔解的可能性不高,反而是 Al₃Ni₂ 相發生分解反應的可能性較高,至於為何在大範圍的 吸熱反應中,主吸熱峰是出現在 870℃的原因,係本 實驗所使用粉末的粒徑較為粗大(約45 µm),在DSC 量測的有限反應時間裡,較難形成固定鎳/鋁成分比的 AlaNia相,且各種成分比例 AlaNi 相的量也不會是固定 的緣故。

混粉經 1165°C 熱處理後,代表 η-Ni₃Ti 及 β'-Ni₂AlTi 兩相的 X 光繞射峰全部消失(圖 4(e))。其中 η 相原本就不是 "目標相",它在 1165°C 高溫發生相 變而分解固不難理解;但 β'消失的原因就必須從相圖 中各相域是溫度的函數來加以解釋。Hsiung [22]曾研究 γ'-β-β'三相合金在 $900 \cdot 1000$ 與 1100°C 經長時間熱處理後各相成分的變化情形,發現 γ'相的頂角成分變化不大,但 β 及 β'的相域會逐漸擴大,使得結三角的 β 與 β'的頂角隨著溫度上升而相互接近(圖 7),該結三角隨溫度上升而縮小且偏移的現象,使得原本座落於結三角 (三相共存區域) 內部的本實驗合金(圖 7 中的 A 點),隨著熱處理溫度上升至





■ 7 經 900℃×1000 h、1000℃×2730 h 及 1100℃×100 h 高溫長時間熱處理後,連結 γ'-β-β' 三相相域的結三角頂點成分的變化 情形,本實驗中混粉的成分標示為A點

 1165° C時,其成分位置已經非常接近 $\gamma'+\beta+\beta'$ 結三角 與 $\beta+\gamma'$ 兩相相域的邊界。根據分析多相合金裡各相佔 有率 (phase fraction) 的槓桿原理(lever rule),遠離 $\beta+\gamma'$ 邊界的 β' 相,在此溫度應逐漸分解而消失,而相變成 為 β 與 γ' 。

混粉的實驗條件下,各相形成順序依其生成焓的多寡而排列亦屬合理;另外,值得一提的是這個順序和我們過去以MA 製程研究的結果是一致的[7]。

3.2 顯微組織

在熱處理後,混粉間因燒結而稍有團聚現象,但 置於研鉢中以杵輕搗即可分散。整體而言,熱處理粉 末的顯微組織,均可與 DSC 及 XRD 的實驗結果相互 呼應。圖 8(a)為經 640° C×15 \min 熱處理的試樣,試樣 裡不存在未反應的鎳、鋁、鈦純元素顆粒,所有混粉 大部分已相變成為β-Ni(Al,Ti)(從XRD 繞射圖可獲得 證實)。另外,在 β 晶界已有少許 γ 相析出。經過 670°C×15 min 熱處理,顯示γ 持續沿著β的晶界成 長,並逐漸將 β 的晶粒包圍起來(圖 8(b)),此時 γ' 相 的厚度約為 $1 \mu m \sim 2875 \text{ C} \times 15 \text{ min } 熱處理後的 \gamma'$ 相, 其厚度已達 2 um (圖 8(c)); XRD 實驗結果顯示 (圖 4(d)),混粉在這個溫度的顯微組織,除了大部分是具 B2 有序結構的 β 外,各元素應會經再次有序化 (re-ordering)的過程,在β裡析出 L21 結構的 β' -Ni₂AlTi,但由於反應時間短, β' 析出量太少,故無 法以 SEM 觀察到。當熱處理溫度持續升高至 1165℃, γ' 的厚度已近 5 μ m (圖 8(d)); 綜觀上述實驗結果, 顯示γ隨著熱處理溫度提高,而有逐漸成長的趨勢。

為了探討 γ 隨溫度升高而成長的現象,我們進行一系列有關的實驗, γ 的成長厚度隨熱處理溫度與熱處理時間的變化情形如表1所示,

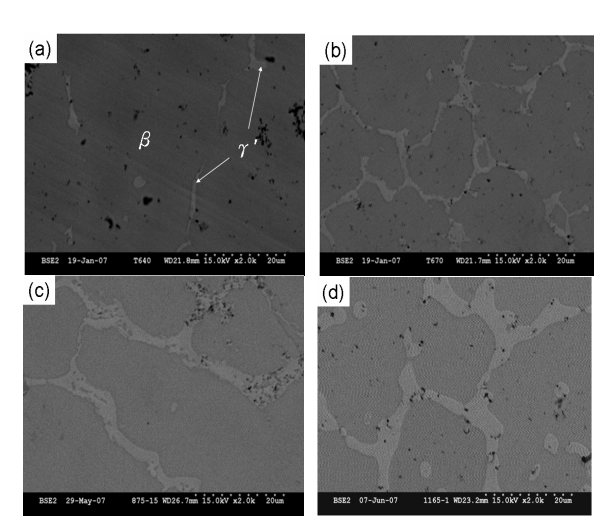


圖 8 混粉在下列各温度熱處理 15 min 後的 SEM 金相照片 (a) 640°C; (b) 670°C; (c) 875°C; (d) 1165°C

表中的數據將作為定量探討 γ' 成長動力學的依據。我們將混粉加熱至不同熱處理溫度,並分別持溫 15 min或 $1\sim4$ h後,實施淬火,並以 SEM 進行顯微組織觀

察,從照片裡可觀察到γ 的厚度在各種不同的熱處理 温度,均隨著熱處理時間的增長而有明顯成長的趨勢 (圖 9-11); 其中,圖 10 係顯示熱處理溫度為 875℃的 情形,當熱處理時間從15 min 延長到1~4h,即可觀 察到β基地相裡已析出了典型的 Widmänstatten 組織。 從 XRD 圖的結果(圖 4(d))與 SEM 照片(圖 10(b)-(d)) 推論該組織為β/相;另外,Widmänstatten 組織的出現, 與Polvani et al. [4]所觀察到 B'會沿著基地 B 相固定的 結晶平面與方向而析出的報導也是吻合的。從相圖熱 力學的觀點而言,成分位於結三角內部的任何合金, 隨著長時間的熱處理,理應逐漸趨向γ-β-β'三相平衡 共存,混粉在 640 與 670°C處理後,β 與 γ' 已先後形 成,因此在 875℃處理後,從 β 基地內析出的新相應 可確定為β′相。當熱處理溫度升高到 1165℃時,除 了 γ 相的厚度持續增加外,原本在 β 相基地中具有 Widmänstatten 組織的β' 相卻消失了(圖 11)。造成β' 相 消失的原因,為結三角的面積隨溫度升高而縮小,三 角形的三個邊裡,用以連結 β 及 β' 兩相相域的邊長明 顯變短了,使得A點的位置落於(或接近於) β 及 γ 的 雙相共存區(圖 7),因此β'會持續分解而形成β與γ'。

3.3 γ'-Ni₃(Al,Ti)相的成長動力學分析

在前兩節中我們依照 DSC 實驗結果,讓混粉在各個反應的溫度實施短時間(15 min)的熱處

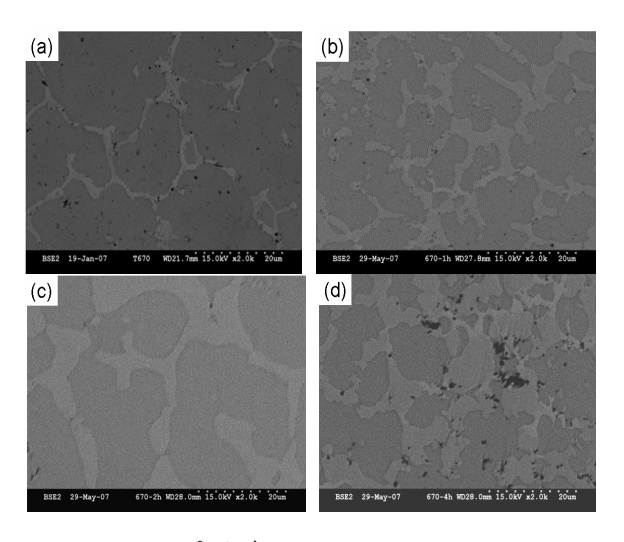
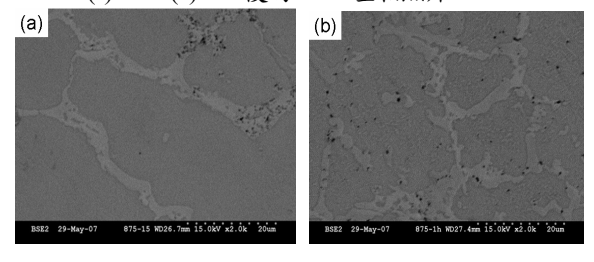
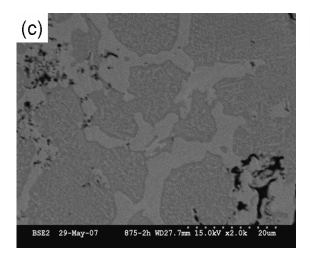


圖 9 混粉經 670℃熱處理 (a)15 min; (b)1h; (c)2h; (d)4h 後的 SEM 金相照片





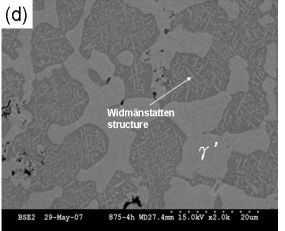


圖 10 混粉經 875℃熱處理 (a)15 min; (b) 1 h; (c)2h; (d)4h 後的 SEM 金相照片

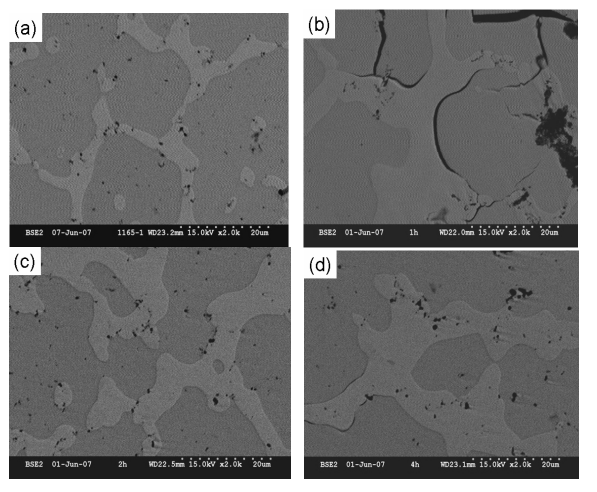


圖 11 混粉經 1165℃熱處理 (a)15 min; (b) 1 h; (c) 2 h; (d)4h 後的 SEM 金相照片

理,以顯微照片與 XRD 實驗分析了粉末裡所呈現的相,並以 Ni-Al-Ti 相圖說明上述實驗的結果;本節則將納入熱處理時間的變數,來進行γ 相的成長動力學分析。

 γ' 相在不同熱處理溫度的成長反應常數k,可由表 1 的實驗數據與公式 $\chi^2 = kt$ 求得 (如圖 12(a));其中 χ 表示 γ' 相的成長厚度;t 是熱處理的時間;k 為 γ' 相的成長反應常數。假設在擴散過程中,反應速率是有限的,則我們可以利用 Arrhenius 關係式來求得擴散因子及擴散活化能;Arrhenius 關係式如下:

$$k = k_0 \exp(-\frac{Q}{RT}) \tag{1}$$

其中,Q為擴散活化能;R為理想氣體常數;T為絕對溫度; K_0 為擴散因子。

表 1 在下列各溫度經不同時間熱處理的混粉 裡, γ -Ni $_3$ (Al,Ti) 相的平均成長厚度值 (μ m)

熱處理 溫度(℃)	熱處理時間				
	15 min	1 h	2 h	4 h	
670	1.30	2.15	3.28	3.78	

875	3.17	4.10	4.77	5.29
1165	4.48	5.68	6.67	7.37

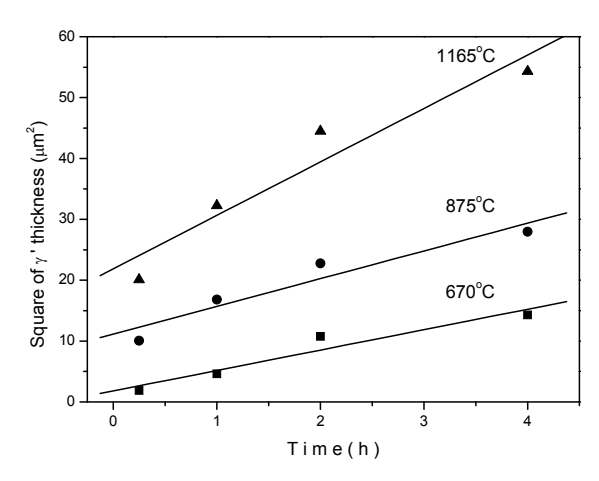


圖 12(a) 混粉分別在 670、875 及 1165℃熱處理 15 min 或 1~4 h 後,粉體裡γ 相的成 長厚度與熱處理時間的關係圖

圖 12(a)為混粉經過不同溫度及時間的熱處理後,所測得 γ' 的厚度平方值隨熱處理時間的變化情形,圖中顯示熱處理時間在小於 2 h 時,γ' 成長的厚度隨時間呈線性增加,當熱處理時間持續增長後,γ' 成長速率逐漸趨於緩慢。上述現象表示γ' 與其他兩相 (β及β')的佔有率已逐漸趨近平衡值了。因此,將圖 12(a)中將各實驗數據以線性的關係加以處理,其分析的結果可解讀為 γ' 在所探討溫度範圍內的平均成長速率。

經過不同溫度及持溫時間的熱處理後,可藉由 Arrhenius 關係式得到 γ' 沿著 β 晶界成長的擴散因子 $k_0 = 8.487 \times 10^{-11} \text{ cm}^2 \text{s}^{-1}$ 與擴散活化能Q = 43.56 kJmol⁻¹(圖 12(b))。過去研究介金屬經不同擴散模式成長 所需活化能的相關文獻中, Watanabe et al. [25]指出擴 散溫度低於 1100℃時,γ/ 相是從 Ni/β-NiAl 介面經晶 界擴散而析出,其成長所需的擴散活化能為 47 kJ mol⁻¹; 當處理溫度高於 1100°C以上,活化能則提高為 294 kJ mol⁻¹。造成活化能隨溫度升高而大幅提高的現 象,歸因於低溫熱處理所提供的能量不足以支持體擴 散的進行,所以γ'相的成長是原子通過Ni/NiAl介面 所形成 γ'的晶界進行擴散,此種利用晶界擴散而達到 新相成長所需的能量較低,但成長速率也較慢。當熱 處理溫度提高到某溫度以上時,所提供的能量已足夠 讓材料內部產生更多容易移動的空孔,藉由該空孔的 遷移來完成新相成長的擴散模式稱為體擴散,驅動體 擴散要比驅動晶界擴散需要較多的能量,其成長速率 也比晶界擴散快。換言之,在低溫時,以晶界擴散為

主的擴散行為,隨著溫度升高,將逐漸被體擴散模式 取代,而體擴散成長速率也會大於晶界擴散成長速 率。由於本研究以 670 與 875℃的實驗值,經計算得 到的活化能 $Q = 43.56 \text{ kJ mol}^{-1}$ 與 Watanabe et al.報導晶 界擴散模式所需的活化能 47 kJ mol⁻¹ 非常接近;此外, 在 640℃熱處理粉末的金相顯微組織,也顯示 β 晶界 處確實析出了許多細小的ү 晶粒 (圖 13),其中已有 部分的 Y 連結成長為網狀的結構,這些證據顯示本研 究的γ 相成長模式與 Watanabe et al.所提出的觀點相 符,因此,混粉於640、670 與875°C熱處理時,從β 相晶界析出 γ 相的成長模式為晶界擴散;至於 Watanabe et al.認為 1100℃為兩種擴散模式的分水嶺溫 度,這點和本研究分析結果也頗為一致,由於在 670 與 875°C (兩溫度均低於 1100°C), γ 是以相同的成長 模式生長,因此在圖 12(a)中,混粉在上述兩個溫度熱 處理時,代表γ 厚度變化的兩條直線也因此具有相近 的斜率值;而在1165℃時,γ′的相成長模式已由晶界 擴散轉變為體擴散為主,所以在1165°Cγ成長分析線 的斜率(成長速率)會比 670 與 875℃成長分析線的 斜率來得大。

成分位於結三角內部的任何合金(包括本研究的 A 合金),經過熱處理後,最終勢必會形成 γ' 、 β 及 β' 三相,由前述的實驗結果可知 γ' 是由 β 的晶界析出,並持續往 β 基地內部成長,其成長速率隨時間增長而逐漸趨緩,此一成長趨緩的趨勢,會持續到鎳、鋁及鈦三種元素分別在各相裡都具有相同的化學勢(chemical potentials), γ' 相才會停止成長。透過各元素原子為達到在各相裡擁有同樣的化學勢,而驅使原子朝向平衡濃度擴散的觀點,來理解 γ' 的成長過程。EPMA 成分分析的實驗結果顯示,實驗過程中 β 基地相的成分變動範圍是 $Ni_{57-62}Al_{26-30}Ti_{10-12}$,而 γ' 相的成長是由於 $Ni_{68-73}Al_{11-14}Ti_{12-17}$,隨著熱處理溫度提高與時間增長, β 基地的成分為了趨向於結三角 β 角落的平衡成分 β 基地的成分為了趨向於結三角 β 角落的平衡成分 β 基地的成分為了趨向於結三角 β 角落的平衡成分

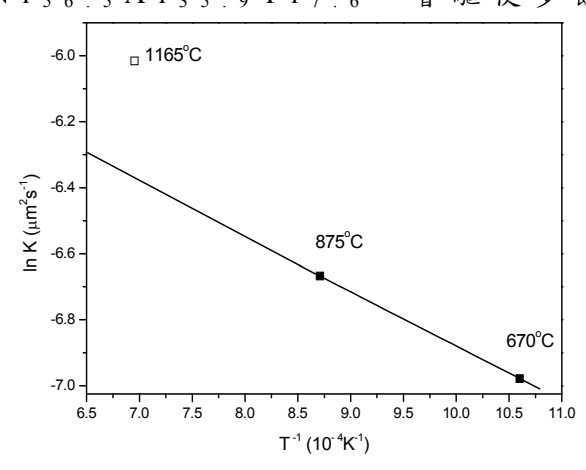


圖 12(b) 按照 Arrhenius 方程式,以求取γ 相擴散

活化能()的分析圖

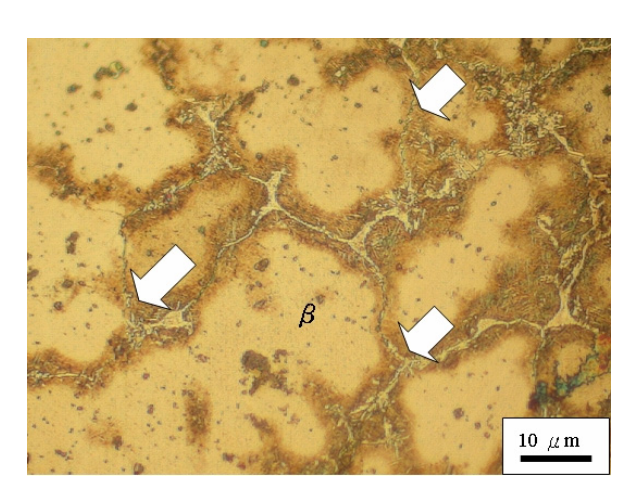


圖 13 鎮、鋁和鈦混粉經過 640°C×15 min 熱處 理後的光學金相照片,顯示細小的γ'(箭 頭指示處)沿著β的晶界成長

的鎳原子往 γ' 相擴散,使得 γ' 朝向 β 成長;基於同樣的理由,若比較 β 與 γ' 兩相中鋁的含量,可知 γ' 的鋁原子濃度相對較低($11\sim14<26\sim30$ at%),但已經非常接近 γ' 相平衡成分 $Ni_{727}Al_{129}Ti_{144}$ 鋁的濃度($11\sim14$ vs.12.9 at%)。此時, γ' 的鋁含量只足夠和來自 β 的鎳原子反應形成新的 γ' 相,使 γ' 繼續成長,根本無法再提供額外的鋁原子,使其朝 β 方向擴散,從這個角度看成長的過程,也顯示應該是持續消耗 β 以維持 γ' 的成長。

四、結論

- (1) 將鎮、鋁及鈦混合粉末以 20℃ min⁻¹ 升溫速率加熱至 1200℃期間,在 620-640℃的熱處理溫度範圍,混合粉末之間會先形成 Al₃Ni 及 Al₃Ni₂ 等介穩相;當溫度上升至 640℃以上,則大部份的介穩相消失,進而形成穩定的介金屬β-Ni(Al,Ti) 相,其次形成的穩定相為 γ'-Ni₃(Al,Ti),最後則為β'-Ni₂AlTi,這些相形成的順序與 MA 製程的結果是一致的。
- (2) 鎮、鋁及鈦混合粉末經過熱處理後,所生成的γ相是沿著β相晶界擴散成長,且γ相會隨著熱處理溫度的升高及持溫時間的增長而增加。在670與875℃,γ相成長的擴散因子k₀=8.487×10⁻¹¹cm²s⁻¹,擴散活化能Q=43.56 kJ mol⁻¹,表示γ是以晶界擴散模式來進行成長;在1165℃時,γ的成長則是以體擴散為主。

致 謝

感謝中山科學研究院材料暨光電研究所鄭榮瑞副所長、薄慧雲組長及林於隆博士提供高能量球磨機;同時感謝周青陸學長協助申請 DSC、XRD 等檢測設備。

参考文獻

- [1] Deevi, S. C., and Sikka, V. K., "Nickel and iron aluminides: an overview on properties, processing and applications," Intermetallics, Vol. 4, No. 5, pp. 357-375, 1996.
- [2] Liu, C. T., White, C. L., and Horton, J. A., "Effect of boron on grain-boundaries in Ni₃Al," Acta Metall. Vol. 33, No. 2, pp. 213-229, 1985.
- [3] Lee, D., and Santella, M. L., "Thermal aging effects on the mechanical properties of as-cast Ni₃Al-based alloy," Mater. Sci. Eng. A, Vol. 428, No. 1-2, pp. 196-204, 2006.
- [4] Polvani, R. S., Tzeng, W. S., and Strutt, P. R., "High temperature creep in a semi-coherent NiAl- Ni₂AlTi alloy," Metall. Trans. A, Vol. 7, No. 1, pp. 32-40, 1976.
- [5] Yang, R., Saunders, N., Leake, A. J., and Cahn, R. W., "Equilibria and Microstructural evolution in the $\beta/\beta'/\gamma'$ region of the Ni-Al-Ti system: Modelling and Experiment," Acta Metall. Mater., Vol. 40, No. 7, pp. 1553-1562, 1992.
- [6] Hsiung, L. C., and Bhadeshia H.K.D.H., "Thermodynamically Stable β [Ni(Al,Ti)]– β '[Ni₂AlTi]– γ '[Ni₃(Al,Ti)] Metal-Metal Composites," Metall.Trans. A, Vol. 26, No. 7, pp. 1895-1903, 1995.
- [7] Sheu, H. H., Hsiung, L. C., and Sheu, J. R., "Synthesis of multiphase intermetallic compounds by mechanical alloying in Ni–Al–Ti system," J. Alloys Comp., 2008. (in press)
- [8] Alman, D. E., and Stoloff, N. S., "Powder fabrication of monolithic and composite NiAl," Inter. J. Powder Metall., Vol. 27, No. 1, pp. 29-41, 1991.
- [9] Kaysser, W. A., Laag, R., Murray, J. C., and Petzow, G. E., "Improvement of P/M-NiAl by Ti and Nb additions," Inter. J. Powder Metall., Vol. 27, No. 1, pp. 43-49, 1991.
- [10] Ferreira, P. I., and Neto, M. L., "Reactive sintering of NbAl₃," Inter. J. Powder Metall., Vol. 30, No. 3, pp. 313-321, 1994.
- [11] Dong, S., Hou, P., Yang, H., and Zou, G, "Synthesis of intermetallic NiAl by SHS reaction using coarse-grained nickel and ultrafine-grained aluminum produced by wire electrical explosion," Intermetallics, Vol. 10, No. 3, pp. 217-223, 2002.

- [12] Minay, E. J., Mcshane, H. B., and Rawlings, R. D., "The hot extrusion reaction synthesis of nickel aluminide alloys," Intermetallics, Vol.12, No. 1, pp. 75-84, 2004.
- [13] Farber, L., Klinger, L., and Gotman, I., "Modeling of reactive synthesis in consolidated blends of fine Ni and Al powders," Mater. Sci. Eng. A, Vol. 254, No. 1-2, pp. 155-165, 1998.
- [14] Miura, S., Terada, Y., Suzuki, T., Liu, C. T., and Mishima, Y., "Thermal conductivity of Ni–Al powder compacts for reaction synthesis," Intermetallics, Vol. 8, No. 1, pp. 151-155, 2000.
- [15] Kopit, Y., "The ability of system based on Ni, Al and Ti to be synthesized by self-propagating high-temperature synthesis (SHS)," Intermetallics, Vol. 9, No. 5, pp. 387-393, 2001.
- [16] Biswas, A., and Ray, S. K., "Comparison between the microstructure evolutions of two modes of SHS of NiAl: key to a common reaction mechanism," Acta Mater., Vol. 52, No. 2, pp. 257-270, 2004.
- [17] Zhu, H. X., and Abbaschian, R., "Reactive processing of nickel-aluminide intermetallic compounds," J. Mater. Sci., Vol. 38, No. 18, pp. 3861-3870, 2003.
- [18] Zhu, P., Li, J. C. M., and Liu, C. T., "Combustion reaction in multilayered nickel and aluminum foils," Mater. Sci. Eng. A, Vol. 239-240, pp. 532-539, 1997.
- [19] Huneau, B., Rogl, P., Zeng, K., Schmid-Fetzer, R., Bohn, M., and Bauer, J., "The ternary system Al–Ni–Ti part I: Isothermal section at 900°C; Experimental investigation and thermodynamic calculation," Intermetallics, Vol. 7, No. 12, pp. 1337-1345, 1999.
- [20] Robson, J. D., Duvauchelle, N., Lugan, A., Street, J., and Bhadeshia, H.K.D.H., "Optimisation of a multiphase intermetallic metal-metal composite material," Mater. Sci. Tech., Vol.17, No. 2, pp. 333-337, 2001.
- [21] Massalski, T. B., "Binary alloy phase diagram," in <u>ASM Handbook</u> Vol. 3, ASM International, p. 183, 1990.
- [22] Hsiung, L. C., <u>Thermodynamically Stable</u> <u>Metal-Metal-Composites (MeMeC)</u>, Ph.D. Thesis, Cambridge University, UK, 1996.
- [23] Garces, J. E., and Bozzolo, G, "Determination of structural alloy equilibrium properties from quantum approximate methods," Phys. Rev. B, Vol. 71, No. 1, pp. 1-10, 2005.
- [24] Burton, B. P., Osburn, J. E., and Pasturel, A., "Theoretical calculations of the NiAl-NiTi phase diagram based on first-principles linear-muffin-tin-orbital and linearly-augmented plane-wave cohesive-energy calculations," Phys. Rev. B,

Vol. 45, pp. 7677-7683, 1992.

[25] Watanabe, M., Horita, Z., and Nemoto, M., "Analytical electron microscopy study of diffusion-bonded multiphase system," Interface Sci., Vol. 4, No. 2, pp. 229-241, 1997.